

# 路线缓和复曲线测量检验的弧长新方法 with 效果

张坤宜, 张荣辉, 禹智涛

(广东工业大学 建设学院, 广东 广州 510090)

## Arc-length Equation of the Middle Spiral Curve in Highway Surveying : Theory and Effect

ZHANG Kun-yi, ZHANG Rong-hui, YU Zhi-tao

摘要: 说明路线设计与测量技术上缓和复曲线悬而未决的问题, 介绍中插缓和曲线相对坐标系中的角度关系, 根据曲线的密切特征分析圆心相对坐标表达式, 推证求解中插缓和曲线弧长  $l_M$  方程, 说明弧长方程应用于路线工程测量检验的几点结论。

关键词: 路线测量, 缓和复曲线, 弧长原理, 迭代法

### 一、概述

缓和复曲线(或称卵形曲线)是一种由多种曲率半径的圆曲线和缓和曲线组成的复杂曲线, 一般有双旁插、单旁插、无旁插等线型。图 1 是一条标准型缓和复曲线, 含左旁插缓和曲线( $l_{s_1}$ )、圆曲线( $R_1, l_{y_1}$ )、中插缓和曲线( $l_{s_3}$ )、圆曲线( $R_2, l_{y_2}$ )、右旁插缓和曲线( $l_{s_2}$ )。中插缓和曲线弧长  $l_{s_3}$  在路线测量与检验中备受关注。

现有中插缓和曲线弧长  $l_{s_3}$  主要以  $Rl = A^2$  模式为基础, 多以预先估计参数  $A$  值<sup>[1]</sup>的思路, 解决办法有查表法、几何法、解析法等。不论路线测量、路线设计, 类似的研究众说纷纭, 但存在约定参数多、调试频繁、计算复杂、反复性突出等共同缺点<sup>[2]</sup>。弧长研究中的圆弧距法<sup>[3]</sup>没有采用预先设定  $A$  值的思路, 提出以圆弧距研究弧长的方法, 给出中插缓和曲线  $l_{s_3}$  弧长的求解公式。但该法存在公式误差和主点位置不定的缺点, 尤其在  $R_1$  与  $R_2$  相差悬殊时, 连接误差比较突出(见表 2)。样条法<sup>[2]</sup>设定参数多, 附加条件较严, 模拟结果近似。拟合方法可得精确结果并可用于工程实际<sup>[4]</sup>, 但公式误差问题未完全解决。现有资料可见, 缓和复曲线存在的突出问题是缓和复曲线线形复杂, 规律性不易被人们所认识; 其中的中插缓和曲线弧长  $l_{s_3}$  和主点  $F, w, M$  定位等重要关系悬而未决, 也是现代交通路线测量与检验值得关注的问题。

本文试图着眼于缓和复曲线的全局, 从圆曲线的曲率中心坐标及其相对关系出发, 在原理上说明

中插缓和曲线弧长新模式及应用效果。为此在图 1 中建立 3 个坐标系, 其中以  $C$  点为原点的  $x_Cy_C$  坐标系称绝对坐标系, 以  $o$  点为原点的  $x'oy'$  坐标系和以  $D$  点为原点的  $x''Dy''$  坐标系称相对坐标系。

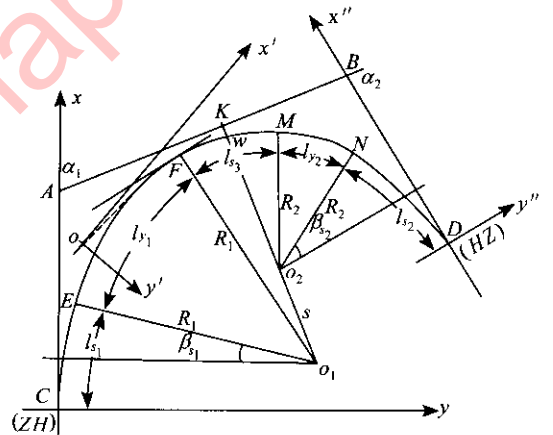


图 1

### 二、中插缓和曲线曲率半径的相对角度关系

图 2 是圆曲线和中插缓和曲线一起从图 1 取出的图形, 其中  $F, M$  是圆曲线  $EF, MN$  和中插缓和曲线  $FM$  的密切点。设密切点  $F, M$  到中插缓和曲线起点  $o$  的弧长  $l_F, l_M$  和曲率半径  $R_1, R_2$  已知, 则在  $x'oy'$  相对坐标系中可见中插缓和曲线的相对角度关系。

#### 1. 密切点 $F, M$ 处的切线角

根据缓和曲线的特征, 密切点  $F, M$  处的切线角可表示为

$$\beta_M = \frac{l_M}{2R_2} \quad (1)$$

$$\beta_F = \frac{l_F^2}{2R_2 l_M} \quad (2)$$

根据缓和曲线性质,弧长  $l_F, l_M$  与密切点  $F, M$  处的曲率半径  $R_1, R_2$  满足参数  $A^2$ , 即

$$A^2 = R_1 l_F = R_2 l_M \quad (3)$$

顾及式(3),式(2)可表示为

$$\beta_F = \frac{R_2 l_M}{2R_1^2} \quad (4)$$

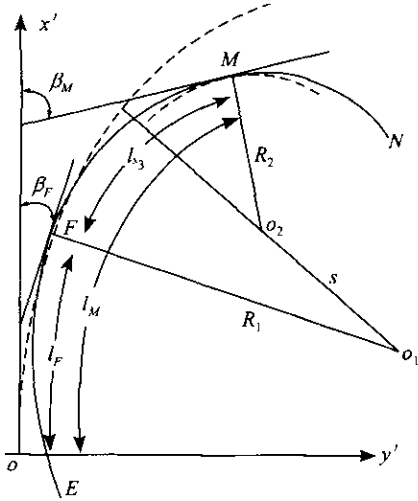


图 2

## 2. 曲率半径相对方位角

根据密切点的性质<sup>[6]</sup>,不同曲率半径的空间曲线在密切点上具有密切特征,通过密切点的曲线曲率半径重合且相等,故  $FO_1 = R_1, MO_2 = R_2$ ,曲率半径的相对方位角  $\alpha_1, \alpha_2$  为

$$\alpha_1 = \beta_F + \frac{\pi}{2} = \frac{R_2 l_M}{2R_1^2} + \frac{\pi}{2} \quad (5)$$

$$\alpha_2 = \beta_M + \frac{\pi}{2} = \frac{l_M}{2R_2} + \frac{\pi}{2} \quad (6)$$

## 三、曲率中心 $o_1, o_2$ 的相对坐标

由图 2 可知圆曲线曲率半径相对方位角  $\alpha_1, \alpha_2$ , 不难理解圆曲线的曲率中心  $o_1, o_2$  在  $x'o'y'$  相对坐标系中的相对坐标可表示为

$$\left. \begin{aligned} x_1' &= x_F' + R_1 \cos \alpha_1 = x_F' - R_1 \sin \left( \frac{R_2 l_M}{2R_1^2} \right) \\ y_1' &= y_F' + R_1 \sin \alpha_1 = y_F' + R_1 \cos \left( \frac{R_2 l_M}{2R_1^2} \right) \end{aligned} \right\} \quad (7)$$

$$\left. \begin{aligned} x_2' &= x_M' + R_2 \cos \alpha_2 = x_M' - R_2 \sin \left( \frac{l_M}{2R_2} \right) \\ y_2' &= y_M' + R_2 \sin \alpha_2 = y_M' + R_2 \cos \left( \frac{l_M}{2R_2} \right) \end{aligned} \right\} \quad (8)$$

其中  $x_F', y_F', x_M', y_M'$  分别是缓和曲线上  $F, M$  点在  $x'o'y'$  相对坐标系中的坐标,可表示为<sup>[5]</sup>

$$\left. \begin{aligned} x_F' &= \frac{R_2 l_M}{R_1} - \frac{R_2^3 l_M^3}{40 R_1^5} + \frac{R_2^5 l_M^5}{3 \ 456 R_1^9} - \frac{R_2^7 l_M^7}{599 \ 040 R_1^{13}} \\ y_F' &= \frac{R_2^2 l_M^2}{6 R_1^3} - \frac{R_2^4 l_M^4}{336 R_1^7} + \frac{R_2^6 l_M^6}{42 \ 240 R_1^{11}} - \frac{R_2^8 l_M^8}{9 \ 676 \ 800 R_1^{15}} \end{aligned} \right\} \quad (9)$$

$$\left. \begin{aligned} x_M' &= l_M - \frac{l_M^3}{40 R_2^2} + \frac{l_M^5}{3 \ 456 R_2^4} - \frac{l_M^7}{599 \ 040 R_2^6} \\ y_M' &= \frac{l_M^2}{6 R_2} - \frac{l_M^4}{336 R_2^3} + \frac{l_M^6}{42 \ 240 R_2^5} - \frac{l_M^8}{9 \ 676 \ 800 R_2^7} \end{aligned} \right\} \quad (10)$$

式(7)式(8)的正弦、余弦函数按正弦、余弦级数展开得

$$\left. \begin{aligned} \sin \left( \frac{R_2 l_M}{2R_1^2} \right) &= \frac{R_2 l_M}{2R_1^2} - \frac{R_2^3 l_M^3}{48 R_1^6} + \frac{R_2^5 l_M^5}{3 \ 840 R_1^{10}} - \frac{R_2^7 l_M^7}{645 \ 120 R_1^{14}} \\ \cos \left( \frac{R_2 l_M}{2R_1^2} \right) &= 1 - \frac{R_2^2 l_M^2}{8 R_1^4} + \frac{R_2^4 l_M^4}{384 R_1^8} - \frac{R_2^6 l_M^6}{46 \ 080 R_1^{12}} + \frac{R_2^8 l_M^8}{10 \ 321 \ 920 R_1^{16}} \end{aligned} \right\} \quad (11)$$

$$\left. \begin{aligned} \sin \left( \frac{l_M}{2R_2} \right) &= \frac{l_M}{2R_2} - \frac{l_M^3}{48 R_2^3} + \frac{l_M^5}{3 \ 840 R_2^5} - \frac{l_M^7}{645 \ 120 R_2^7} \\ \cos \left( \frac{l_M}{2R_2} \right) &= 1 - \frac{l_M^2}{8 R_2^2} + \frac{l_M^4}{384 R_2^4} - \frac{l_M^6}{46 \ 080 R_2^6} + \frac{l_M^8}{10 \ 321 \ 920 R_2^8} \end{aligned} \right\} \quad (12)$$

将式(9)式(10)、式(11)、式(12)代入式(7)式(8),可整理为

$$\left. \begin{aligned} x_1' &= \frac{R_2 l_M}{AR_1} - \frac{R_2^3 l_M^3}{BR_1^5} + \frac{R_2^5 l_M^5}{CR_1^9} - \frac{R_2^7 l_M^7}{DR_1^{13}} \\ y_1' &= \frac{R_2^2 l_M^2}{ER_1^3} - \frac{R_2^4 l_M^4}{FR_1^7} + \frac{R_2^6 l_M^6}{GR_1^{11}} - \frac{R_2^8 l_M^8}{HR_1^{15}} + R_1 \end{aligned} \right\} \quad (13)$$

$$\left. \begin{aligned} x_2' &= \frac{l_M}{A} - \frac{l_M^3}{BR_2^2} + \frac{l_M^5}{CR_2^4} - \frac{l_M^7}{DR_2^6} \\ y_2' &= \frac{l_M^2}{ER_2} - \frac{l_M^4}{FR_2^3} + \frac{l_M^6}{GR_2^5} - \frac{l_M^8}{HR_2^7} + R_2 \end{aligned} \right\} \quad (14)$$

式(13)式(14)就是  $o_1, o_2$  相对坐标表达式,式中  $A = 2, B = 240, C = 34 \ 560, D = 8 \ 386 \ 560, E = 24, F = 2 \ 688, G = 506 \ 880, H = 154 \ 828 \ 800$ 。

#### 四、中插缓和曲线弧长 $l_M$ 方程

由图 2 可见,若弧长  $l_M$  可得,曲率半径  $R_1, R_2$  已知,则按式(3)可求弧长  $l_F$ ,弧长  $l_{s_3}$  可按  $l_M - l_F$  得到。因此弧长  $l_M$  是推演弧长方程的关键。

在图 1 的  $x_C y_C$  绝对坐标系统与  $x' o' y'$  相对坐标系统中,曲率中心(圆心)  $o_1, o_2$  坐标与圆心距  $s$  存在两种固定的关系,即

$$(x_2' - x_1')^2 + (y_2' - y_1')^2 = s^2 \quad (15)$$

$$(x_2 - x_1)^2 + (y_2 - y_1)^2 = s^2 \quad (16)$$

一般地  $R_1, R_2$  可知,但式(15)中,圆心  $o_1, o_2$  的相对坐标  $x_1', y_1', x_2', y_2'$  因弧长  $l_M$  未知无法求得,则圆心距  $s$  无法得到。在式(16)中,圆心  $o_1, o_2$  的绝对坐标  $x_1, y_1, x_2, y_2$  可按图 1 左、右旁插缓和曲线原理在  $x_C y_C, x'' D y''$  坐标系中求知<sup>[4]</sup>,则圆心距  $s$  可得到, $s$  便是实地可知的基准长度。显然式(15)  $o_1, o_2$  相对坐标能够与实地基准长度  $s$  形成固定关系的表达式,即式(13)式(14)由  $l_M, R_1, R_2$  确定的圆心  $o_1, o_2$  相对坐标与实地基准长度  $s$  形成固定的关系,即所谓的“曲率中心重合关系”<sup>[7]</sup>。由这种关系可推求中插缓和曲线  $l_M$  的弧长方程为

$$k_1 w + k_2 w^2 + k_3 w^3 + k_4 w^4 + k_5 w^5 + k_6 w^6 + k_7 w^7 + k_8 w^8 + K = 0 \quad (17)$$

式(17)中, $w$  是决定弧长  $l_M$  的未知数; $K$  是已知常数,即

$$w = l_M^2 \quad (18)$$

$$K = (R_1 - R_2)^2 - s^2 \quad (19)$$

从上述推证中可见,弧长方程式(17)中系数  $k_1, k_2, k_3, k_4, k_5, k_6, k_7, k_8$  与圆曲线半径  $R_1, R_2$  存在明确的关系,即

$$k_1 = \frac{1}{A^2} \left( 1 - \frac{2R_2}{R_1} + \frac{R_2^2}{R_1^2} \right) + \frac{2}{E} \left( 1 - \frac{R_1}{R_2} - \frac{R_2^3}{R_1^3} + \frac{R_2^2}{R_1^2} \right)$$

$$k_2 = -\frac{2}{AB} \left( \frac{1}{R_2^2} - \frac{R_2^3}{R_1^3} - \frac{1}{R_1 R_2} + \frac{R_2^5}{R_1^6} \right) + \frac{1}{E^2} \left( \frac{1}{R_2^2} - \frac{2R_2}{R_1^3} + \frac{R_2^4}{R_1^6} \right) -$$

$$\frac{2}{F} \left( \frac{1}{R_2^2} - \frac{R_1}{R_2^3} - \frac{R_2^3}{R_1^7} + \frac{R_2^4}{R_1^6} \right)$$

$$k_3 = \frac{2}{AC} \left( \frac{1}{R_2^4} - \frac{R_2^5}{R_1^9} - \frac{1}{R_1 R_2^3} + \frac{R_2^6}{R_1^{10}} \right) +$$

$$\frac{1}{B^2} \left( \frac{1}{R_2^4} - \frac{2R_2}{R_1^5} + \frac{R_2^6}{R_1^{10}} \right) -$$

$$\frac{2}{EF} \left( \frac{1}{R_2^4} - \frac{R_2^3}{R_1^7} - \frac{1}{R_1^3 R_2} + \frac{R_2^6}{R_1^{10}} \right) +$$

$$\frac{2}{G} \left( \frac{1}{R_2^4} - \frac{R_1}{R_1^5} - \frac{R_2^7}{R_1^{11}} + \frac{R_2^6}{R_1^{10}} \right)$$

$$k_4 = -\frac{2}{AD} \left( \frac{1}{R_2^2} - \frac{R_2^7}{R_1^{13}} - \frac{1}{R_1 R_2^5} + \frac{R_2^8}{R_1^{14}} \right) -$$

$$\frac{2}{BC} \left( \frac{1}{R_2^2} - \frac{R_2^5}{R_1^{14}} - \frac{1}{R_1^5 R_2} + \frac{R_2^8}{R_1^{14}} \right) +$$

$$\frac{2}{EG} \left( \frac{1}{R_2^6} - \frac{R_2^5}{R_1^{11}} - \frac{1}{R_1^3 R_2^3} + \frac{R_2^8}{R_1^{14}} \right) +$$

$$\frac{1}{F^2} \left( \frac{1}{R_2^6} - \frac{2R_2}{R_1^7} + \frac{R_2^8}{R_1^{14}} \right) -$$

$$\frac{2}{H} \left( \frac{1}{R_2^6} - \frac{R_1}{R_2^7} - \frac{R_2^9}{R_1^{15}} + \frac{R_2^8}{R_1^{14}} \right)$$

$$k_5 = \frac{2}{BD} \left( \frac{1}{R_2^2} - \frac{R_2^5}{R_1^{13}} - \frac{1}{R_1^5 R_2^3} + \frac{R_2^{10}}{R_1^{18}} \right) +$$

$$\frac{1}{C^2} \left( \frac{1}{R_2^8} - \frac{2R_2}{R_1^9} + \frac{R_2^{10}}{R_1^{18}} \right) -$$

$$\frac{2}{EH} \left( \frac{1}{R_2^8} - \frac{R_2^7}{R_1^{15}} - \frac{1}{R_1^3 R_2^5} + \frac{R_2^{19}}{R_1^{18}} \right) -$$

$$\frac{2}{FG} \left( \frac{1}{R_2^8} - \frac{R_2^3}{R_1^{11}} - \frac{1}{R_1^7 R_2} + \frac{R_2^{10}}{R_1^{18}} \right)$$

$$k_6 = -\frac{2}{CD} \left( \frac{1}{R_2^8} - \frac{R_2^3}{R_1^{13}} - \frac{1}{R_1^9 R_2} + \frac{R_2^{12}}{R_1^{21}} \right) +$$

$$\frac{2}{FH} \left( \frac{1}{R_2^{10}} - \frac{R_2^5}{R_1^{15}} - \frac{1}{R_1^7 R_2^3} + \frac{R_2^{12}}{R_1^{21}} \right) +$$

$$\frac{1}{G^2} \left( \frac{1}{R_2^{10}} - \frac{2R_2}{R_1^{11}} + \frac{R_2^{12}}{R_1^{21}} \right)$$

$$k_7 = \frac{1}{D^2} \left( \frac{1}{R_2^{12}} - \frac{2R_2}{R_1^{13}} + \frac{R_2^{14}}{R_1^{26}} \right) -$$

$$\frac{2}{GH} \left( \frac{1}{R_2^{12}} - \frac{R_2^3}{R_1^{15}} - \frac{1}{R_1^{11} R_2} + \frac{R_2^{14}}{R_1^{26}} \right)$$

$$k_8 = \frac{1}{H^2} \left( \frac{1}{R_2^{14}} - \frac{2R_2}{R_1^{15}} + \frac{R_2^{16}}{R_1^{30}} \right)$$

各式中  $A, B, C, D, E, F, G, H$  与式(13)同。

#### 五、弧长方程的求解方法

弧长方程式(17)是一个高次方程,只要圆曲线设计半径  $R_1, R_2$  和圆心距  $s$  已知,就可按迭代法准确求得弧长值  $l_M, l_F, l_{s_3}$ 。迭代法求解弧长  $l_M$  的方法如下。

1. 利用设计半径  $R_1, R_2$  计算  $k_1, k_2, k_3, k_4, k_5, k_6, k_7, k_8$  各系数;

2. 按式(19)求  $K$ ;

3. 初求  $w$ , 即

$$w = -\frac{K}{k_1}; \quad (20)$$

4. 求  $dw$  将  $w, K$  及  $k_1, k_2, k_3, k_4, k_5, k_6, k_7, k_8$  各系数代入式(17), 即

$$dw = k_1 w + k_2 w^2 + k_3 w^3 + k_4 w^4 + k_5 w^5 + k_6 w^6 + k_7 w^7 + k_8 w^8 + K; \quad (21)$$

5. 限制误差  $Q$  设定实例  $Q = 0.000\ 000\ 000\ 1$ ), 若  $dw \geq Q$  时, 再计算  $w$ , 即

$$w = w - \frac{dw}{A}; \quad (22)$$

6. 按式(21)计算  $dw$ , 按式(22)计算  $w$ , 直至按式(19)计算  $dw \leq Q$  时, 则计算  $\sqrt{w}$  得  $l_M$ 。

## 六、试验与体会

### 1. 弧长方程系数 $k_1, k_2, k_3, k_4, k_5, k_6, k_7, k_8$ 主

表 1

实例参数	$R_1$ 2 300 m	$R_2$ 60 m	圆心距 $s$ 2 231.004 9 m	$K$ 40 217.136 18
$k_1$ :- 2.873 929 226		$k_2$ .7.071 071 189 7e - 6	$k_3$ :- 1.024 431 8374e - 11	$k_4$ .9.169 280 905e - 18
$k_5$ :- 1.043 202 997e - 24		$k_6$ .2.972 563 987e - 30	$k_7$ :- 5.175 770 75e - 36	$k_8$ .5.323 276 285e - 42

表 2

实 例	单位 :m					
	1(圆弧距法)	2(设计)	3(试验)	4(试验)	5(参考例)	
已知半径	$R_1$	2 300	2 300	2 300	2 300	6 100
	$R_2$	60	60	60	60	4 500
基准长度	$s$	2 231.004 9	2 231.004 9	2 231.890	2 235.901	1 598.672 4
圆弧距 <sup>[7]</sup>	$\Delta p$	8.995	8.995	8.109	4.099	1.327 6
	$l_M$	118.414	120.417 5	114.143 8	80.542 4	2 819.161 5
	弧长	$l_F$	3.089	3.141 3	2.977 7	2.101 1
	$l_{s_3}$	115.325	117.276 2	111.166 1	78.441 4	739.452 2
连接误差	$\Delta s$	$\pm 0.286$	$\pm 0.001 28$	$\pm 0.000 80$	$\pm 0.000 05$	$\pm 0.000 05$

2. 缓和复曲线中插缓和曲线弧长的一次性求解, 避免参数预估环节和多种辅助参数的参与, 不受传统思路的限制, 计算方法简捷。一般情况下弧长方程一次性求解得到的曲线终点  $M$  检验连接误差<sup>[4]</sup>几乎为零, 即使半径比很大, 如表 2 实例 2  $R_1 : R_2 > 38$  缓和复曲线连接误差最大  $\pm 0.001 28$  m。试验表明, 弧长方程求解不再有调试频繁、反复性突出和连接误差大等弊病。在缓和复曲线测量检验中, 中插缓和曲线弧长的求解效率高。

3. 上述试验效果是弧长方程式(17)的推演符合缓和曲线性质的反映。方程式(17)借助于绝对坐标系中的基准长度  $s$  实现相对坐标系弧长  $l_{s_3}$  的一次性精确求解。或者说, 只要圆曲线半径  $R_1, R_2$  和圆心距  $s$  (或者说曲率中心  $o_1, o_2$ ) 确定, 弧长方程则可准确得到中插缓和曲线弧长值。因此  $l_M$  弧长方程是缓和复曲线测量坐标检验的重要方程, 并且该方

要决定于圆曲线半径  $R_1, R_2$ , 而  $K$  值取决于圆曲线半径  $R_1, R_2$  和圆心距  $s$ 。或者说, 弧长  $l_M$  取决于圆曲线半径  $R_1, R_2$  和圆心距  $s$ 。实例的系数列于表 1。若  $K = 0$ , 中插缓和曲线弧长  $l_M = 0$ 。弧长方程的  $K > 0$ , 弧长  $l_M$  有解。按迭代法一次性精确求得的中插缓和曲线弧长  $l_M, l_F, l_{s_3}$  和缓和复曲线的方位关系(另文讨论), 构成缓和复曲线完整的结构参数。表 2 列出以结构参数试验实例 2, 3, 4, 5 的连接误差很小, 说明弧长方程完全满足现代交通路线高精度测量检验的需要。

程可应用于路线设计。

### 参考文献:

- [1] 日本道路协会. 回旋曲线手册[M]. 北京: 人民交通出版社, 1980.
- [2] 王伯惠. 道路立交工程(第1版)[M]. 北京: 人民交通出版社, 2000. 132-159.
- [3] 张作容. 复曲线中间缓和曲线插法通解[J]. 公路, 1991(3): 10-13.
- [4] 张坤宜, 等. 公路卵形曲线的测量坐标检验[J]. 测绘通报, 2004(4): 39-42.
- [5] 张坤宜, 覃辉, 金向农. 交通土木工程测量(修订版)[M]. 武汉: 武汉大学出版社, 2003. 310-322.
- [6] 武汉测绘科技大学, 同济大学测量教研室. 控制测量学(下册)[M]. 北京: 测绘出版社, 1988. 23-25.
- [7] 张坤宜. 同向缓和复曲线数学模型的探讨[J]. 公路, 1999(9): 21-26.